

ЧАСТИЧНАЯ ПРОЗРАЧНОСТЬ ЯДЕР И УНИВЕРСАЛЬНЫЕ СВОЙСТВА ПРОТОННЫХ СПЕКТРОВ В СТОЛКНОВЕНИЯХ РЕЛЯТИВИСТСКИХ ПРОТОНОВ И ЯДЕР С ЯДРАМИ

Ю.Б.Иванов, Л.М.Сатаров

На основе модели, учитывающей неполную диссипацию начального относительного импульса нуклонов снаряда и мишени, дается интерпретация универсальных свойств инклюзивных протонных спектров в протон-ядерных и ядро-ядерных столкновениях. Сравнение с экспериментальными данными указывает на вполне определенный вид тормозной способности ядерного вещества.

Кинематический анализ экспериментальных инклюзивных спектров протонов (ИСП) и составных фрагментов в ядро-ядерных столкновениях при высоких энергиях, выполненный в¹, показал, что эти спектры могут быть представлены в виде суперпозиции вкладов трех квазимаксвелловских источников: "медленного" источника в области фрагментации мишени (ОФМ), "быстрого" – в области фрагментации ядра-снаряда и "промежуточного" – в области эффективного файрбола. В работах² более подробно исследовались свойства медленного протонного источника. Было найдено, что в ОФМ (т.е. при продольных быстротах вторичных протонов близких к начальной быстроте мишени, и при сравнительно небольших поперечных импульсах $x = p_{\perp}/m_N < 1$, где m_N – масса нуклона) ИСП обладают некоторыми свойствами универсальности, главным из которых является независимость эффективной температуры медленного источника ($T \cong 55$ МэВ) от энергии столкновения и комбинации сталкивающихся ядер. Подобные свойства ИСП в протон-ядерных столкновениях уже давно наблюдались и были обобщены под названием "ядерного скейлинга"³.

В настоящей работе показывается, что эти эмпирические закономерности в ИСП¹⁻³ могут быть естественным образом объяснены на основе гипотезы о частичной прозрачности ядер. Более того, эти закономерности указывают на вполне определенный закон торможения быстрого нуклона в ядерной материи.

Мы исходим из модели частичной прозрачности (МЧП), развитой в⁴. Эта модель использует предположение о трубочной геометрии столкновения, при котором инвариантное инклюзивное сечение выхода нуклонов представляется в виде⁵

$$\sigma_{inv}(\mathbf{p}) \equiv E \frac{d^3 \sigma}{d^3 p} = \sigma^* \sum_{N_p=1}^{A_p} \sum_{N_t=1}^{A_t} W_p(N_p) W_t(N_t) \varphi(\mathbf{p}, N_p, N_t), \quad (1)$$

где множители $W_{\alpha}(N_{\alpha})$ имеют смысл эффективного числа трубок в ядре α ¹⁾, содержащих N_{α} нуклонов, σ^* – сечение трубок (параметр модели). Функция $\varphi(\mathbf{p}, N_p, N_t)$ характеризует импульсное распределение нуклонов двух сталкивающихся трубок после их взаимодействия. В МЧП не предполагается полной остановки вещества сталкивающихся трубок в системе их центра масс. Напротив, мы считаем, что в результате неполного торможения трубок, особенно небольшой длины, происходит пространственное разделение ядерного вещества на два сгустка, относительная скорость (V_{rel}) и внутренние энергии на один барион (ϵ_{α}) которых находятся из уравнений временной эволюции⁴. Существенный модельный параметр – длина торможения $\lambda_T(V_{rel})$, входящий в эти уравнения, определяет эффективность торможения. Функции $\varphi(\mathbf{p}, N_p, N_t)$ представляются в виде суперпозиции двух максвелловских распределений, параметры которых определяются средними скоростями и энергиями возбуждения ($\epsilon_{\alpha} - m_N$) трубок после их взаимодействия.

¹⁾ Индекс $\alpha = p, t$ указывает на первоначальную принадлежность трубки ядру-снаряду и мишени, соответственно.

Ранее⁴ рассматривался простейший вариант введения прозрачности: $\lambda_T(V_{rel}) = \text{const}$, но при этом для воспроизведения экспериментальных данных приходилось увеличивать λ_T с увеличением энергии снаряда E_{lab} . В настоящей работе показывается, что все имеющиеся протонные инклузивные данные по протон-ядерным^{6,7} и ядро-ядерным^{2,7,8} реакциям в области энергий $E_{lab} = 0,5 \div 5$ ГэВ/нукл могут быть воспроизведены единым образом в предположении, что эффективная длина торможения пропорциональна кинетической энергии относительного движения:

$$\lambda_T(V_{rel}) = \lambda_0 [(1 - V_{rel}^2)^{-1/2} - 1]. \quad (2)$$

Более того, такой функциональный вид $\lambda_T(V_{rel})$ позволяет естественным образом объяснить качественные экспериментальные закономерности, наблюдаемые в ИСП^{2,3}. Продемонстрировать это проще всего на примере взаимодействия ядерного снаряда с тонкой ядерной мишенью (типа ^{20}Ne), эффективные длины трубок которой $l_t = N_t / \sigma * n_0$ (n_0 – нормальная ядерная плотность) малы по сравнению с λ_0 .

Начнем с протон-ядерных столкновений ($W_p(1) = 1$, $A_p = 1$). При $\lambda_T(V_{rel})$ в форме (2) в первом порядке по l_t / λ_0 МПЧ дает следующие результаты для быстроты увлечения мишениной трубки y_t и ее энергии возбуждения ($\epsilon_t - m_N$):

$$\epsilon_t - m_N \cong m_N / \kappa, \quad y_t \cong \frac{1}{\kappa} \operatorname{ctn} y_0 / 2, \quad (3)$$

где $\kappa = n_0 \sigma * \lambda_0$, а y_0 – начальная быстрота снаряда. При $y_0 > 1$ вклад лидирующего протона в σ_{inv} сосредоточен вблизи больших значений быстрот $y \sim y_0$, поэтому в ОФМ им можно пренебречь. Как видно из (3), $(\epsilon_t - m_N)$ и y_t не зависят от N_t . Это означает, что зависимость от N_t входит в $\varphi(p, 1, N_t)$ лишь через нормировочный фактор, пропорциональный

N_t . Используя в (1) соотношение: $\sum_{N_t=1}^{A_t} N_t W_t(N_t) = A_t$, и пренебрегая на время возбуждением Δ -резонансов и рождением π -мезонов, в ОФМ можно записать следующее выражение для ИСП:

$$\sigma_{inv}(p) \propto A_t \sigma * E_t(p) \exp \{ -E_t(p) / T_t \}, \quad (4)$$

где $E_t(p) = m_N \sqrt{1 + x^2} \operatorname{ch}(y - y_t)$ – энергия вторичного протона в системе отсчета движущейся с быстротой y_t , $T_t \cong 2/3(\epsilon_t - m_N)$ – эффективная температура. Таким образом, в согласии с экспериментальными данными мы получаем, что ИСП в ОФМ имеет универсальную максвелловскую форму с температурой, независящей от E_{lab} . Быстрота медленного источника y_t падает с увеличением E_{lab} , постепенно выходя на асимптотику: $y_t \cong \kappa^{-1}$. Именно такое поведение параметров медленного источника наблюдается экспериментально. Асимптотический выход на режим полного ядерного скейлинга³ объясняется в нашем подходе асимптотическим поведением: $y_t \rightarrow \kappa^{-1}$.

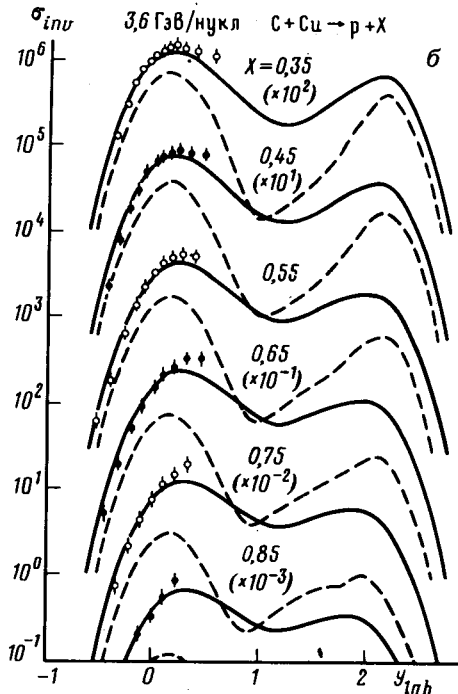
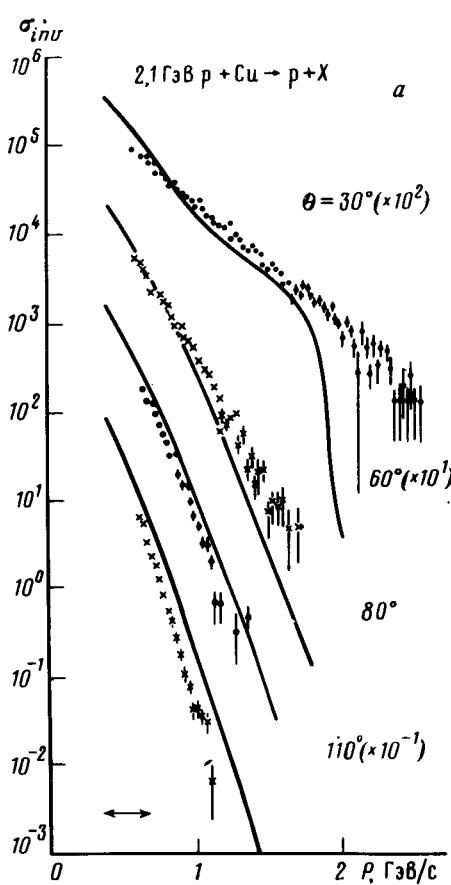
В случае высокозенергетических ядро-ядерных столкновений σ_{inv} в ОФМ в основном определяется соударениями периферических трубок снаряда, содержащих один нуклон, с более плотными областями мишени. Это вызывается рядом причин геометрического и кинематического характера. Прежде всего, прямой расчет¹⁾ показывает, что геометрические факторы $W(N)$ даже для наиболее тяжелых ядер максимальны при $N = 1$. Это обусловлено большим вкладом диффузных хвостов распределений ядерной плотности. Кроме того, быстрота увлечения трубки мишени увеличивается с ростом N_p , поэтому функции $\varphi(p, N_p, N_t)$ при $N_p \geq 2$ центрированы вблизи больших значений быстрот, чем при $N_p = 1$. Все это приводит к тому, что в ОФМ σ_{inv} в основном определяется вкладом слагаемого в (1), пропорциональ-

¹⁾ При вычислении $W(N)$ использовались экспериментальные ядерные распределения зарядовой плотности.

ногого $W_p(1)$:

$$\sigma_{inv}(p) \approx \sigma^* W_p(1) \sum_{N_t=1}^{A_t} W_t(N_t) \varphi(p, 1, N_t), \quad (5)$$

для которого остается в силе все рассмотрение, проведенное для протон-ядерных реакций. Таким образом, универсальные свойства сечений ядро-ядерных столкновений в нашей модели объясняются универсальностью вклада соответствующих нуклон-ядерных соударений.



Инвариантные сечения выхода протонов (в мб·с³/ГэВ²) в реакциях: а – $p + ^{64}\text{Cu}$ при $E_{lab} = 2,1 \text{ ГэВ}$, P – импульс протона в лаб. системе; б – $^{12}\text{C} + ^{64}\text{Cu}$ при $E_{lab} = 3,6 \text{ ГэВ}/\text{нукл.}$, сплошная кривая – инклузивное сечение, пунктир – вклад событий с N_p или $N_t = 1$. Точки – экспериментальные данные

Были рассчитаны ИСП для протон-ядерных реакций: $p + C$, $p + \text{Cu}$ и $p + \text{Pb}$, при $E_{lab} = 0,43 \div 5,1 \text{ ГэВ}$, а также для ядро-ядерных реакций при $E_{lab} = 0,4; 0,8; 2,1$ и $3,6 \text{ ГэВ}/\text{нукл.}$, для которых известны экспериментальные ИСП. В расчетах, также как и ранее⁴, учитывалось рождение Δ -изобар и π -мезонов, а также поправки, связанные с ограниченностью фазового пространства конечных состояний вторичных протонов и с вылетом составных фрагментов. Найдено, что ИСП во всех рассмотренных реакциях наилучшим образом воспроизводятся при $\lambda_0 = 13 \Phi$. На рисунке демонстрируется типичная степень воспроизведения экспериментальных данных.

Уравнения МЧП приводят к следующему закону торможения быстрого нуклона в ядерной среде:

$$\frac{dE_p}{dz} = - \frac{E_p}{\lambda_T(V_{rel})}, \quad \frac{d(\epsilon_p - m_N)}{dz} = \frac{m_N}{\lambda_0} - \frac{\epsilon_p - m_N}{\lambda_T(V_{rel})}, \quad (6)$$

где z – расстояние, пройденное снарядом в системе покоя среды, $E_p = \epsilon_p \ln y_p - m_N$ – полная энергия снаряда (без энергии покоя), ϵ_p включает в себя поперечную массу и внутреннюю

энергию возбуждения (в Δ -изобарное состояние), $V_{rel} = \text{th } y_p$. На начальной стадии торможения ($z \ll \lambda_0$) $\epsilon_p \cong m_N$ поэтому потеря энергии на единицу пути снаряда практически постоянна: $dE_p/dz \cong -m_N/\lambda_0$. При $z \sim \lambda_0$ ϵ_p заметно возрастает, а с ней возрастают и энергетические потери.

Авторы выражают благодарность И.Н.Мищустину за стимулирующие дискуссии, С.Т.Беляеву, Д.П.Гречухину и В.И.Манько за полезные обсуждения.

Литература

1. Manko V.I., Nagamiya S. Nucl. Phys., 1982, A384, 475.
2. Adyasevich B.P. et al. Phys. Lett., 1984, 142B, 245; Preprint IAE-3951/2, 1984.
3. Гаврилов В.Б., Лексин Г.А. Препринт ИТЭФ-124, 1983.
4. Иванов Ю.Б., Мищустин И.Н., Сатаров Л.М. Письма в ЖЭТФ, 1983, 38, 400; Nucl. Phys., 1985, A433, 713.
5. Knoll J., Randrup J. Nucl. Phys., 1979, A324, 445.
6. Баюков Ю.Д. и др. Препринт ИТЭФ-148, 1983.
7. Moeller E. et al. Report LBL-12257, 1981.
8. Nagamiya S. et al. Phys. Rev. C, 1981, 24, 971.

Институт атомной энергии
им. И.В.Курчатова

Поступила в редакцию
4 февраля 1985 г.